

**ДИФФЕРЕНЦИАЛЬНАЯ ОТРАЖАТЕЛЬНАЯ  
СПЕКТРОСКОПИЯ ПОГЛОЩАЮЩИХ  
СВЕРХТОНКИХ СЛОЕВ НА ПРОЗРАЧНЫХ  
ПОДЛОЖКАХ**  
**С ДВУМЯ ЗЕРКАЛЬНО ОТРАЖАЮЩИМИ  
ПОВЕРХНОСТЯМИ ПРИ НОРМАЛЬНОМ  
ПАДЕНИИ СВЕТА**

*П.В.Адамсон*

В последние годы при разработке эффективных оптических методов для изучения приповерхностной области различных материалов наряду с эллипсометрией [1], методом поверхностных волн [2] и некоторыми другими [3] значительное внимание стали уделять также дифференциальной (модуляционной) отражательной спектроскопии в режиме внешнего отражения. Посредством этой методики успешно исследовались как свободная поверхность [4–7], так и *in situ* процесс роста [8–12] различных полупроводников (именно в последнем случае оптика обладает очень хорошей перспективой, поскольку традиционные (электронные) методы во многих ситуациях здесь вообще не работают). При этом интерпретация экспериментальных результатов, как правило, проводилась на основе феноменологической модели [13], которая позволяет исследовать в достаточно общем виде наиболее важные эффекты, обусловленные наличием переходного поверхностного слоя. Однако геометрия задачи [13] неприменима для прозрачных подложек тогда, когда необходимо учитывать влияние отражения света от тыльной стороны подложки.

Цель данного сообщения — выяснить роль второй зеркально отражающей поверхности в дифференциальной отражательной спектроскопии сверхтонких поглощающих переходных слоев на прозрачных подложках.

Рассмотрим нормальное (квазинормальное) отражение света с вакуумной длиной волны  $\lambda_0$  от прозрачной пластинки с толщиной  $d_m \gg \lambda_0$  и двумя зеркально отражающими границами раздела  $A$  и  $B$  (см. рис. 1,  $\epsilon_m$  и  $\epsilon_{a,b}$  — диэлектрические проницаемости пластинки и непоглощающих окружающих сред соответственно). Поскольку в практике почти всегда имеют место небольшие локальные вариации

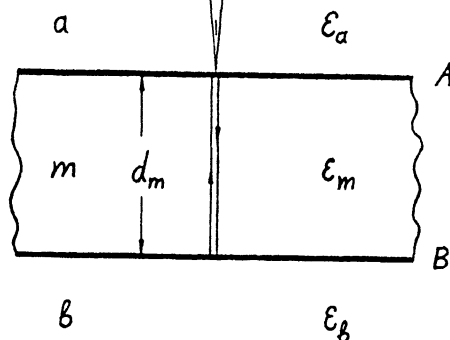


Рис. 1. Поперечное сечение прозрачной подложки.

толщины, а падающий свет не является идеально монохроматическим, то в результате фазового усреднения при расчете полного коэффициента отражения  $R$  от пластинки с учетом многократных отражений на тыльной поверхности следует суммировать интенсивности, а не амплитуды поля (в некогерентном случае вторая отражающая поверхность выступает независимым (адитивным) образом). Если свет падает со стороны границы раздела  $A$  (рис. 1), то для  $R$  получается следующее выражение (без учета затухания) [14]:

$$R = R_{am} + R_{mb} T_{am} T_{ma} (1 - R_{ma} R_{mb})^{-1}, \quad (1)$$

где  $R_{ij}$  и  $T_{ij}$  — энергетические коэффициенты отражения и пропускания при падении света из  $i$ -й среды на  $j$ -ю среду. В действительности, конечно, всегда существует определенное затухание в материале подложки, но с точки зрения анализа рассматриваемой проблемы это просто эквивалентно случаю с некоторым уменьшенным значением коэффициента отражения от второй поверхности ( $R_{mb} \rightarrow R_{mb} e^{-2\alpha_m d_m}$ , где  $\alpha_m$  — коэффициент затухания в подложке). Из вышесказанного следует также, что в рассматриваемой ситуации определение изменения фазы при отражении невозможно или, другими словами, отражательная спектроскопия по существу имеет фотометрический характер. Поэтому недавно разработанный поляризационный метод с двойной модуляцией [6], где измеряется относительное изменение комплексных амплитудных коэффициентов отражения, здесь не применим.

Выделяя приповерхностную область от остального объема мысленной геометрической поверхностью, величины  $R_{ij}$  и  $T_{ij}$  можно представить в виде  $R_{ij} = R_{ij}^{(0)}(1 + \alpha_{ij})$ ,  $T_{ij} = T_{ij}^{(0)}(1 + \beta_{ij})$ , где  $R_{ij}^{(0)}$  и  $T_{ij}^{(0)}$  являются чисто френелевскими коэффициентами отражения и пропускания, описывающих объемный вклад материала подложки,  $\alpha_{ij}$  и  $\beta_{ij}$  — поправки, связанные с реальными физическими поверхностями. В случае сверхтонких поверхностных слоев и нормального падения света  $|\alpha_{ij}| \ll 1$  и  $|\beta_{ij}| \ll 1$ . Тогда, учитывая только члены, содержащие малые параметры  $\alpha_{ij}$  и  $\beta_{ij}$  до первой степени, получим

$$R \simeq R^{(0)} + R_A \alpha_{am} + \frac{T_A^2 R_B}{1 - R_A R_B} \times \\ \times \left[ \beta_{am} + \beta_{ma} + \frac{\alpha_{mb} + R_A R_B \alpha_{ma}}{1 - R_A R_B} \right], \quad (2)$$

где  $R^{(0)}$  выражается через (1), если там  $R_{ij} \rightarrow R_{ij}^{(0)}$  и  $T_{ij} \rightarrow T_{ij}^{(0)}$ ;  $R_A = R_{am}^{(0)} = R_{ma}^{(0)}$ ,  $T_A = T_{am}^{(0)} = T_{ma}^{(0)}$ ,  $R_A + T_A = 1$ ,  $R_B = R_{mb}^{(0)} = R_{bm}^{(0)}$ . Как известно, в дифференциальной отражательной спектроскопии регистрируемой величиной является относительное изменение коэффициента отражения в результате изменения химического состава границ раздела или характера взаимодействия света с поверхностными структурами при модуляции поляризации (поляризационная анизотропия отражения). При этом предполагается, что оптические свойства объема — коэффициенты  $R_{ij}^{(0)}$  и  $T_{ij}^{(0)}$  не изменяются (именно поэтому, например, поляризационный метод применен лишь для изотропных подложек). В нашем случае для относительного изменения коэффициента отражения  $\Delta R/R$  с точностью до первого порядка по параметрам  $\alpha_{ij}$  и  $\beta_{ij}$  на основе (2) получим

$$\frac{\Delta R}{R} \simeq \frac{(1 - r) R_A (\alpha_{am}^{(1)} - \alpha_{am}^{(2)}) + \\ + t(\beta_{am}^{(1)} - \beta_{am}^{(2)} + \beta_{ma}^{(1)} - \beta_{ma}^{(2)} + (1 - r)^{-1} (\alpha_{mb}^{(1)} - \alpha_{mb}^{(2)} + r(\alpha_{ma}^{(1)} - \alpha_{ma}^{(2)})))}{(1 - r) R_A + t} \quad (3)$$

где  $\alpha_{ij}^{(1)}$ ,  $\beta_{ij}^{(1)}$  — параметры приповерхностной области во время первого и  $\alpha_{ij}^{(2)}$ ,  $\beta_{ij}^{(2)}$  — второго актов измерения отраженного сигнала,  $r = R_A R_B$ ,  $t = T_A^2 R_B$ .

Изучаем более подробно такую ситуацию, где  $\alpha_{mb}^{(1)} = \alpha_{mb}^{(2)}$ , а приповерхностная область на первой границе раздела оказывается поглощающей. Если поверхностный слой с толщиной  $d_e \ll \lambda_0$  можно считать еще макроскопическим, т.е.  $d_e$  все-таки значительно больше, чем характерный микроскопический размер молекулярно-дискретной структуры среды, то его целесообразно характеризовать эффективной (усредненной) комплексной диэлектрической проницаемостью  $\epsilon_e = \epsilon'_e - i\epsilon''_e$  и  $\alpha_{ij}, \beta_{ij}$  можно найти в рамках макроскопической электродинамики. Следуя [13],

$$\alpha_{am} \simeq 8\pi\sqrt{\epsilon_a}(\epsilon_m - \epsilon_a)^{-1}\epsilon''_e d_e / \lambda_0, \quad (4)$$

$$\alpha_{ma} \simeq 8\pi\sqrt{\epsilon_m}(\epsilon_m - \epsilon_a)^{-1}\epsilon''_e d_e / \lambda_0, \quad (5)$$

и таким же методом, как выведены эти формулы, получим

$$\beta_{am} \simeq \beta_{ma} \simeq -4\pi(\sqrt{\epsilon_a} + \sqrt{\epsilon_m})^{-1}\epsilon''_e d_e / \lambda_0, \quad (6)$$

если ограничиться лишь первым порядком по малому параметру  $d_e/\lambda_0$  (такое приближение, конечно, оправдано только для достаточно сильно поглощающего поверхностного слоя ( $\epsilon''_e \gtrsim 1$ ), в случае слабопоглощающего слоя необходимо учитывать в разложении и члены  $\sim (d_e/\lambda_0)^2$ ). Далее, на основе (3)–(6) получим

$$\Delta_A \equiv [\epsilon''_e d_e]^{(1)} - [\epsilon''_e d_e]^{(2)} = (\epsilon_m - \epsilon_a) \times \\ \times (c8\pi\sqrt{\epsilon_a}F(x, y))^{-1} \lambda_0 (\Delta R/R)_A, \quad (7)$$

где  $(\Delta R/R)_A$  — относительное изменение коэффициента отражения на границе раздела  $A$ ,

$$F(x, y) = \frac{(x-1)^2}{V(x-1)^2 + 4x} \left[ V - x \left( \frac{4}{x-1} + \frac{1}{V} \right) \right], \quad (8)$$

$$V = (1+y)(x^2 + y)(x-y)^{-2}, \quad (9)$$

$x^2 \equiv \epsilon_m/\epsilon_a$  и  $y^2 \equiv \epsilon_b/\epsilon_a$ . Формула (7) применима и для микроскопических (мономолекулярных) слоев, поскольку выражения (4)–(6) совпадают с результатами микротеории, только величина  $\epsilon''_e d_e$  получает другой физический смысл [15, 16]. Например, в случае поляризационной (модуляционной) отражательной спектроскопии свободной поверхности

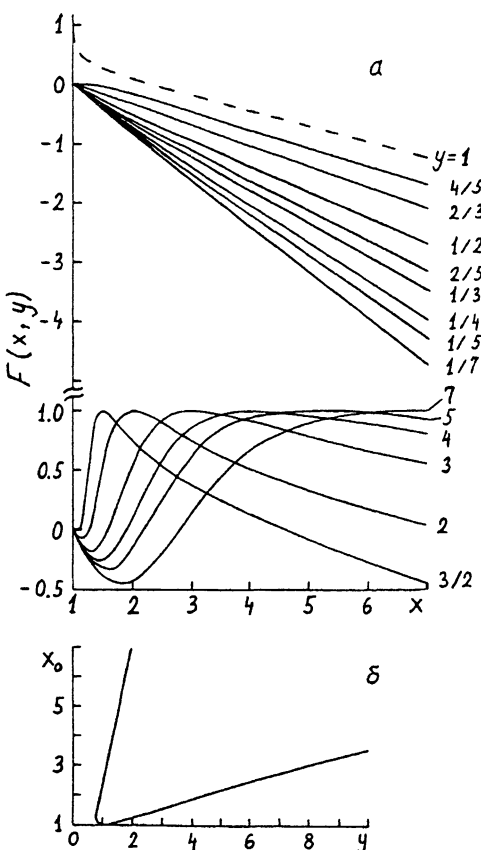


Рис. 2. Зависимость функции  $F(x, y)$  от  $x \equiv \sqrt{\epsilon_m/\epsilon_a}$  при разных значениях параметра  $y \equiv \sqrt{\epsilon_b\epsilon_a}$  (а) и зависимость нулевых точек  $x_0$  этой функции ( $F(x_0, y) = 0$ ) от  $y$  (б). Номера у кривых указывают значения  $y$ .

вместо  $\Delta_A$  выступает параметр  $\text{Im}[\Delta\epsilon_m d_s]_A$ , где  $\Delta\epsilon_m$  — анизотропия диэлектрического отклика “эффективной” приповерхностной области с толщиной  $d_s$  [17]. Ясно, что рассматриваемый метод, в котором ограничивается лишь членами первого порядка по  $d_e/\lambda_0$ , в принципе не позволяет измерить изменение величины  $\epsilon'_e d_e$ . Зато он дает возможность прямым образом экспериментально определить изменение мнимой части диэлектрического отклика приповерхностной области (при изменении ее химического состава) или анизотропию этой величины для определенной фиксированной поверхности.

Зависимость функции  $F$  от  $x$  при разных значениях  $y$  представлена на рис. 2, а. Нулевые точки  $x_0$  этой функции ( $F(x_0 y) = 0$ ) можно получить из уравнения

$$x_0^4 - y(y+2)(x_0^3 - x_0^2) - y^2(2y+3)x_0 + y^2(1+y)^2 = 0. \quad (10)$$

Если  $y < 0.7914$ , то оно вещественными решениями не обладает, а при  $y \gtrsim 0.7914$  у этого уравнения существуют два физических смысла имеющегося решения (рис. 2, б). В симметричном случае ( $y = 1$ ) одним решением, разумеется, является  $x_0 = 1$ , а другое получается из уравнения  $x_0^3 - 2x_0^2 + x_0 - 4 = 0$ . Из последнего следует, что для  $\sqrt{\varepsilon_m} = 2.3146\sqrt{\varepsilon_a}$  ( $\Delta R)_A = 0$  (коэффициент отражения не изменяется, хотя  $\Delta_A \neq 0$ ). Таким образом, изменение коэффициента отражения может быть как положительным, так и отрицательным. Обратим внимание на то, что при  $y > 1$  ( $\varepsilon_b > \varepsilon_a$ ) существование зеркального отражения от второй поверхности подложки приводит к уменьшению абсолютного значения измеряемой величины  $(\delta R/R)_A$  по сравнению со случаем, где такое отражение отсутствует и поэтому может оказаться с точки зрения эксперимента нежелательным (при актуальных значениях  $\varepsilon_m/\varepsilon_a$  это справедливо и для симметричной структуры). Для получения более сильного изменения коэффициента отражения в случае подложек с двумя зеркально отражающими поверхностями в качестве исследуемой целесообразно использовать тыльную границу раздела. Действительно, если  $\Delta_A = 0$ , а  $\Delta_B = [\varepsilon_e'' d_e]^{(1)} - [\varepsilon_e'' d_e]^{(2)} \neq 0$ ,  $\varepsilon_d = \varepsilon_b$ , то

$$(\Delta R/R)_B = 2\pi\sqrt{\varepsilon_m} \left( \sqrt{\varepsilon_m + \sqrt{\varepsilon_a}} \right)^2 (\varepsilon_m^2 - \varepsilon_a^2)^{-1} \Delta_B / \lambda_0, \quad (11)$$

и нетрудно показать, что отношение  $(\Delta R/R)_B/(\Delta R/R)_A > 1$ . Отметим также, что при такой схеме измерения изменение коэффициента отражения всегда отрицательное, т.е.  $(\Delta R)_B < 0$ .

### Список литературы

- [1] Эллипсометрия — метод исследования поверхности / Под ред. А.В.Ржанова. Новосибирск: Наука, 1983. 180 с.
- [2] Дмитрук Н.Л., Литовченко В.Г., Стрижевский В.Л. Поверхностные поляритоны в полупроводниках и диэлектриках. Киев: Наукова Думка, 1989. 376 с.
- [3] Aspnes D.E. // SPIE Proc. 1990. V. 1285. P. 2-13.
- [4] Cricenti A., Selci S., Ciccacci F. et al. // Physica Scripta. 1988. V. 38. P. 199-203.
- [5] Berkovits V.L., Kiselev V.A., Safarov V.I. // Surf. Sci. 1989. V. 211/212. P. 489-502.

- [6] *Aspnes D.E., Chang Y.C., Studna A.A. et al.* // Phys. Rev. Lett. 1990. V. 64. N 2. P. 192–195.
- [7] *Kamiya I., Aspnes D.E., Florez L.T., Harboson J.P.* // Phys. Rev. B. 1992. V. 46. N 24. P. 15894–15904.
- [8] *Aspnes D.E., Harbison J.P., Studna A.A., Florez L.T.* // Phys. Rev. Lett. 1987. V. 59. N 15. P. 1687–1690.
- [9] *Acher O., Koch S.M., Omnes F. et al.* // J. Appl. Phys. 1990. V. 68. N 7. P. 3564–3577.
- [10] *Deppert K., Jönsson J., Samuelson L.* // Appl. Phys. Lett. 1992. V. 61. N 13. P. 1558–1560.
- [11] *Amstrong S.R., Hoare R.D., Pembble M.E. et al.* // J. Crystal Growth. 1992. V. 124. P. 37–43.
- [12] *Kobayashi N., Kovayashi Y.* // Thin Solid Films. 1993. V. 225. P. 32–39.
- [13] *McIntyre J.D.E., Aspnes D.E.* // Surf. Sci. 1971. V. 24. P. 417–434.
- [14] *Physics of Thin Films*. N.Y.: Academic Press, 1963.
- [15] *Schaich W.L., Chen W.* // Phys. Rev. B. 1989. V. 39. N 15. P. 10714–10724.
- [16] *Schaich W.L., Chen W.* // Phys. Rev. B. 1989. V. 40. N 8. P. 5350–5358.
- [17] *Chang Y.-C., Aspnes D.E.* // Phys. Rev. B. 1990. V. 41. N 17. P. 12002–12012.

Институт физики  
Тарту, Эстония

Поступило в Редакцию  
11 января 1994 г.